

· 计算机工程与应用 ·

SEC-Tree的安全WSNS路由协议

刘丹¹, 刘伟¹, 左朝树², 刘凯¹

(1. 电子科技大学计算机科学与工程学院 成都 610054; 2. 现代通信国家重点实验室 成都 610040)

【摘要】针对无线传感器网络(WSNs)的广泛应用及其对低能耗、高安全性迫切需求,提出SEC-Tree拓扑结构。以Sec-Tree为基础,设计了多层多路径路由协议,给出了一个自适应多路径路由算法。提出一种PSK生成算法,并将PSK应用于Sec-Tree初始化及路由维护中,实现了基于局部化的加密和鉴别技术,使该协议具有良好的安全特征、抗攻击能力和多跳、多路径路由的可靠特征。分析表明该路由协议具有高效安全的良好特性。

关键词 多路径路由; 安全路由协议; 拓扑结构; 无线传感器网络
中图分类号 TP393.02 **文献标识码** A

Security WSNs Routing Protocol Based on SEC-Tree

LIU Dan¹, LIU Wei¹, ZUO Chao-shu², and LIU Kai¹

(1. School of Computer Science and Engineering, University of Electronic Science and Technology of China Chengdu 610054;
2. National Laboratory for Modern Communications Chengdu 610040)

Abstract To cope with the emerging massive application of wireless sensor networks (WSNs) and its urgent attribute demands in low-energy consumption and high-security, a security and energy considering tree (SEC-Tree) topologized structure is proposed. Based on SEC-Tree, a multi-layer and multi-path routing protocol and a self-adaptation multi-path routing algorithm are presented. By applying pairwise shared key (PSK) in SEC-Tree initialization and route maintenance, a localized technology in encryption and identification is brought forward to ensure the protocol high security, anti-attackability, and reliability in multi-hop and multi-path route. Theoretical analysis indicates the high efficiency and security of the routing protocol.

Key words multi-path routing; security routing protocol; topological structure; wireless sensor networks

由于WSNs网络能量资源易受限,且易受外界干扰和攻击,设计高效且安全的WSNs网络路由协议成为研究热点。目前WSNs路由协议大致分为基于层次的路由协议^[1-4]、以数据为中心的路由协议^[5-7]以及基于地理位置的路由协议^[8-9]。

本文在传统层次路由协议基础上设计的高效安全的路由机制—SEC-Tree路由协议,克服了传统层次路由协议^[1]采用单跳通信、扩展性差、不适合大规模网络的缺点,并引入了身份鉴别机制,具有高效安全的特征。

1 PSK密钥生成算法

为防止各类攻击,提出PSK密钥在WSNs路由由邻接节点对间进行信息加密传送,该密钥的生成基于

节点对间相互身份鉴别,以提高网络安全性。

1) 在网络初始化时由可信任的接收中心(sink)生成主密钥 k^m ,并配置给各个传感器节点。节点 i 根据主密钥生成自己的对称密钥 $k_i = f_{k^m}(i)$,其中 f_k 是伪随机函数^[10]。

2) 节点对 (i, j) 在路由初始化时进行双向身份鉴别。(1) 节点 i 给节点 j 发送请求身份鉴别消息包,其中包含自己的 i_d 和消息认证码 $\{i, \text{MAC}(k_i, i)\}$;(2) j 收到 i 的消息后,根据 i 计算出 k_i ,并用其解密,完成对 i 鉴别功能,鉴别成功则进入下一步,否则算法结束;(3) j 给 i 发送确认信息,其中包含自己的 i_d 和消息认证码 $\{j, \text{MAC}(k_j, j)\}$;(4) i 收到 j 的应答信息后,根据 j 计算出 k_j ,并用其解密,完成对 j 鉴别功能,鉴别成功则进入下一步,否则算法结束。

收稿日期: 2007-09-07; 修回日期: 2008-05-21

基金项目: 现代通信国家重点实验室基金(060C11)

作者简介: 刘丹(1969-),男,博士,副教授,主要从事计算机应用方面的研究。

3) 节点对 (i, j) 各自生成 i, j 间的PSK密钥:

$$k_{ij} = f_{k_j}(i)。$$

4) 各节点保留自己的密钥和PSK密钥, 清除其他密钥, 对于 i , 保留密钥 k_i 和 k_{ij} 。

2 SEC-Tree安全路由协议

SEC-Tree对分层路由机制进行改进, 将节点到簇头的的数据交付修改为多跳交付机制, 以减小数据传递的能耗, 适应大规模WSNs应用需求。同时, 针对SEC-Tree的特性, 设计自适应多路径安全路由策略, 增强路由协议的抗攻击能力与容错能力, 提高可靠性。

2.1 SEC-Tree拓扑形成算法

ECM算法基于能量约束以实现SEC-Tree初始化, 形成多跳路由基本拓扑。

(1) 基本概念和定义

最大额定发射功率 p_m : 在SEC-Tree初始化过程及路由稳定运行阶段, 所有节点的最大发射功率。

邻节点: 某节点 α 以 p_m 发射消息所能覆盖的节点为其邻节点。

树 T_v^l : l 为树的级数, 表示树中节点所经过的合并次数; v 为该树的根节点。

边缘节点: 树 T 中的节点 α 具有不属于该树的邻节点, 则 α 为该树的边缘节点。

边缘中心节点: 树 T 的边缘节点中, 与树内其他节点的平均距离最小的节点。

直接可达性 R_{ij} : 当节点 i 能直接交付数据到节点 j , 则 $R_{ij}=1$, 否则 $R_{ij}=0$ 。

距离 D_{ij} : 两节间往返时间为距离度量, 即 $d_{ij} = d_{ij-RTT}$ 。

(2) SEC-Tree形成算法

SEC-Tree初始化过程形成一个相对稳定的路由拓扑。该过程中各节点进行消息交互的同时相互认证、建立PSK、删除主密钥和其他节点密钥、进行结构初始化。

(3) 节点合并

初始化时, 各节点广播身份鉴别消息包。节点 a 收到各个节点的鉴别消息包后, 计算与各个节点的通信能耗, 发现通信代价最小的邻居 b 。向 b 发送身份确认包, 算法建立PSK密钥后, 相互发起合并请求。若节点 a 与 b 相互收到对方的合并请求, 则达成合并协议, 形成子树 T_{ab}^1 , 如果请求节点收到合并目标的拒绝消息, 那么该节点继续在剩余邻居节点中计算新的最小能耗合并对象。

(4) 树合并及树根节点形成

两个节点合并成一个一级树, 两个一级树合并为一个二级树, 依次类推, 当网络中所有节点都包含于同一棵子树时, 停止递归过程, 形成如图1所示SEC-Tree。

两个节点合并成1个一级树, 选这两个节点作为该树的双根; 两个 $l(l \geq 1)$ 级树 T_i^l 和 T_j^l 欲合并成 $l+1$ 级树时, 确定这两个 l 级树的双根节点 (i_1, i_2) 和 (j_1, j_2) , 其中 (i_1, i_2) 为 T_i^l 的所有节点中与 T_j^l 的边缘中心节点 j 间通信能耗最小的两个节点; (j_1, j_2) 为 T_j^l 的所有节点中与 T_i^l 的边缘中心节点 i 间通信能耗最小的两个节点。根节点确定后, 将 T_i^l 和 T_j^l 重新表示为 T_{i_1, i_2}^l 和 T_{j_1, j_2}^l , 这两棵 l 级树合并形成了1棵 $l+1$ 级树 T_v^{l+1} , 其中 v 表示虚根节点, 在 T_v^{l+1} 和其他 $l+1$ 级树合并时, 再形成实际的双根节点。可见, SEC-Tree中各级子树具有双根特征。

(5) 基于树结构的节点地址分配

根据该树的合并过程, 为每个节点 α 分配唯一的网络地址 $\alpha_{n-1}, \alpha_{n-2}, \dots, \alpha_0$, 其中 n 为该树的级数, α_i 表示该节点的第 i 位。该地址由低位到高位形成, 以图1为例, 节点 a 与 b 合并时, 令 $a_0=0, b_0=1$; 节点 c 与 d 合并时, 令 $c_0=0, d_0=1$; 设 T_{ab}^1 和 T_{cd}^1 合并形成二级树, 为树 T_{ab}^1 和 T_{cd}^1 分配一级地址0和1。对于节点 $x \in T_{ab}^1$, 令 $x_1=0$; 对于节点 $x \in T_{cd}^1$, 令 $x_1=1$ 。当该二级树进一步产生合并行为时, 设选择了 a 和 c 为根, 表示为 T_{ac}^2 。按照该方法不断递归, 当一棵完整的SEC-Tree形成时, 各节点的地址也分配完成。

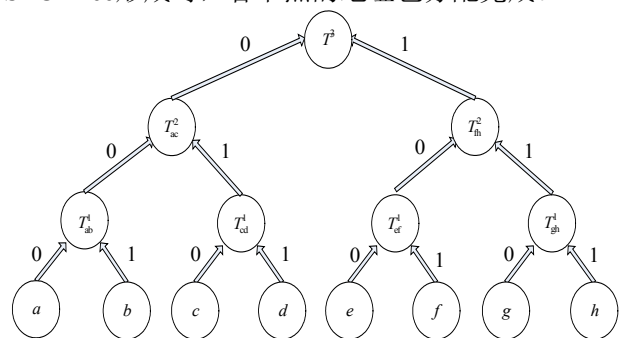


图1 SEC-Tree的形成

2.2 SEC-Tree路由表

SEC-Tree合并完成后, 形成 n 级树(树的最高级数是 n)。在形成SEC-Tree过程中, 同时形成各节点的路由表。每个节点 α 的路由表包含 $n-1$ 项, 每项包含两个下一跳节点, 表示为 $R_\alpha^l = (l, \beta_1^l, \beta_2^l)$, 其中 $(0 \leq l \leq n-1)$, β_1^l 和 β_2^l 表示 l 层路由项的下一跳节点, 它们是在两个 l 级子树合并过程中, 不包含 α 的那棵 l 级子树的两个根节点。由于对每一层路由项

维护了两个下一跳节点,保证了路由的灵活与可靠。

1个*l*级子树包含 2^l 个节点,在参予合并成*l*+1级子树时,确定出其*l*层路由项,在更新自身路由表时,将路由更新信息传播给子树中的所有其他节点。当SEC-Tree的规模较大时,不是所有节点都具有边缘节点的特征,各节点收到路由表更新信息后,测试相应的下一跳节点是否可达,若可达则更新路由表,否则保持下一跳节点为空。

为适应WSN具有网络拓扑结构不稳定及易受攻击的特征,保证路由的安全有效,路由表中同时维护各下一跳节点的可达性和距离指标,即在节点*a*的路由表中,对其下一跳节点*b*,维护 R_{ab} 、 D_{ab} 。

图1中,*a*节点路由表的建立过程为:*a*首先与*b*合并形成 T_{ab}^1 ;接着 T_{ab}^1 和 T_{cd}^1 合并形成二级树 T_{ac}^2 ;最后 T_{ac}^2 与 T_{fh}^2 合并,形成树 T^3 并完成SEC-Tree合并过程。根据上述路由表建立算法,节点*a*按照自身所在子树级数由高到低的顺序,依次将各级子树在形成时所利用的根节点加入到路由表中,如表1所示。设图1中节点*d*不能直接连接到节点*f*或*h*,此时,节点*d*的二级路由表为空。

表1 节点*a*路由表

级数 <i>l</i>	下一跳	可达性	距离
2	$f(101),h(111)$	R_{af},R_{ah}	D_{af},D_{ah}
1	$c(010),d(011)$	R_{ac},R_{ad}	D_{ac},D_{ad}
0	$b(001)$	R_{ab}	D_{ab}

表2 节点*d*路由表

级数 <i>l</i>	下一跳	可达性	距离
2			
1	$a(000),b(001)$	R_{da},R_{db}	D_{da},D_{db}
0	$c(010)$	R_{dc}	D_{dc}

2.3 SEC-Tree路由表的维护

各节点基于PSK密钥加密,周期性发送探测包到其各级下一跳节点,拾取各下一跳节点的可达性和时延指标,以保证路由的安全有效。节点*i*发送一个探测数据包 $P_i:(msg)_{k_{ij}}$ 给节点*j*,节点*i*在预定时间范围内收到 P_{ackj} 并验证通过, $R_{ij}=1$,在收到响应包的同时更新 D_{ij} ,否则 $R_{ij}=0$,表示节点*j*不可达。随时间变化,WSN的拓扑发生较大变化后,需要重建拓扑。在实现中,对于*l*级根节点*i*,若其路由表中有 $1/3$ 的节点失效,则重建本*l*级子树的SEC-Tree拓扑。

2.4 自适应多路径路由算法

设节点*a*地址 $A_a = A_a^{n-1} | A_a^{n-2} | \dots | A_a^0$,节点*b*地址 $A_b = A_b^{n-1} | A_b^{n-2} | \dots | A_b^0$,其中*n*为SEC-Tree的最高级数。当*a*向*b*传递数据时,提出以下自适应多跳路由算法步骤:

- (1) 令 $l=n-1$ 。
- (2) 若 $A_a^l \neq A_b^l$ 时,转3,否则 $l=l-1$,重新开始步骤(2)。
- (3) 查询*a*路由表中*l*级的表项 $R_a^l = (l, \beta_1^l, \beta_2^l)$;若 β_1^l 或 β_2^l 不为空,转步骤(5)。
- (4) 若 $R_{a\beta_1} = R_{a\beta_2} = 0$,即 β_1^l 或 β_2^l 都为空,则 $l=l-1$,转步骤(3)。
- (5) 若 $R_{a\beta_1} = 1, R_{a\beta_2} = 0$,则选择 β_1^l 为下一跳节点;若 $R_{a\beta_1} = 0, R_{a\beta_2} = 1$,则选择 β_2^l 为下一跳节点,转步骤(7)。
- (6) 若 $R_{a\beta_1} = R_{a\beta_2} = 1$,选择距离小的节点为下一跳节点。
- (7) 数据交付至下一跳节点,下一跳节点重复本算法交付数据,算法结束。

例:节点*d*准备向*h*传递数据。由图1的拓扑结构,节点*d*和*h*的地址分别为 $R_d=011$ 和 $R_h=111$ 。从最高地址位依次比较,因 $A_d^2 \neq A_h^2$,根据表2,查找到节点*d*的二级路由表项 $R_d^2 = (2, ,)$ 。继续查表2,找到节点*d*的一级路由表项 $R_d^1 = (1, a, b)$,按照多跳路由算法,选*a*为下一跳节点,将消息直接传递给节点*a*。节点*a*重复该算法, $A_a^2 \neq A_h^2$,查找到节点*a*的二级路由表项 $R_a^2 = (2, f, h)$,按照多跳路由算法,选*h*为下一跳节点,交付完成。

3 性能分析

3.1 路由效率及可靠性

路由采用多级、每级双下一跳节点的机制,增加了路由的伸缩性,某些中间节点受到攻击而暂时不能提供路由服务,也不影响路由可靠性。

定义1 路由可达概率 E_{num} 从源节点到目的节点是间接可达的概率,num表示该路径中每一跳可以选择的路由节点数。

对于一个规模为*n*级SEC-Tree的WSN,总节点数为 2^n ,节点地址宽度为*n*,任意两节点间的最大物理跳数 $N_m \leq n$ 。对于路由表中出现空项,其一是因为距离原因而不可达,其二是由于节点受到攻击而不能正常工作。距离因素不是本算法需要考虑的范畴,忽略该因素。设节点能正常工作的概率为*p*,则节点*i*的路由表包含*n*项共 $2n$ 个下一跳节点,其中有效节点数为 $2np$ 。对于每个节点,只要在其可供选择的 $2np$ 个下一跳节点中有一个可正常路由,则其可以将数据交付到下一跳,则该跳路由是可达的,当某路由中的所有跳都是可达的,则该路由是可靠的。因此规模为 2^n 的WSN的可达性为:

$$E = \left[\frac{2np!}{i!(2np-i)!} p^i (1-p) \right]^n \quad (1)$$

相对于普通多跳路由机制,其每跳只有一个节点可供选择,有 $E_1^n = p^n$ 。

两者可达性之比为:

$$\frac{E_{2np}^n}{E_1^n} = \left[\frac{2np!}{i!(2np-i)!} p^{i-1} (1-p) \right]^n \quad (2)$$

当 $p=0.8$, $n=3$, $2np \approx 5$, 则有 $E_5^n = 0.999$, 而 $E_1^n = 0.512$ 。可见,在不需要更新路由表的情况下,该方法的可达性相对于单路由维护机制的可达性有极大提高。

3.2 安全性

设攻击者捕获一个节点需要的最小时间为 T_{\min} , SEC-Tree的初始化时间 T_{est} 通常为几秒,可假设 $T_{\text{est}} < T_{\min}$ 。当经过 T_{\min} 后,没有任何一个节点保留主密钥 k^m 。即使一个攻击者在 T_{\min} 后捕获一个节点,该节点已经完成密钥分配及生成过程,攻击者不能获得其他节点的密钥信息和主密钥,有效防止了攻击者进一步扩散攻击。

由于SEC-Tree形成是基于能量距离的,自然就避免了黑洞攻击(black-hole attack)。由于路由的灵活性,该路由协议能够使一个有效节点绕过wormhole攻击、jamming攻击和一些抑制网络流量的攻击。

SEC-Tree形成算法完全确定了网络拓扑,可防止恶意节点实施路由环、基于路由的DOS、hello flood等攻击;由于恶意节点不容易加入到路由拓扑中,可有效抑制选择性转发攻击的发生;基于鉴别机制的SEC-Tree形成算法可有效防止sybil节点进入网络;同时,在路由维护过程中采用双向身份鉴别机制,能有效抑制虚假路由信息的攻击、sinkhole攻击等。

对于内部攻击,一个节点在路由表中维护的是各级下一跳节点的信息,当一个已经被攻击的节点只能骗取该节点上各级下一跳节点的信任,其扩展带有一定局部性,可以延缓攻击扩展速度。

4 结束语

本文首先提出SEC-Tree拓扑形成算法,并基于该拓扑构建了多层结构的路由表。进而提出自适应多路径路由机制及相应的路由算法,更好地控制节

点通讯能耗,提高路由的可靠性和灵活性。为提高WSNs的安全性,设计了一种PSK密钥生成算法,在SEC-Tree拓扑形成过程和路由表的维护过程中,基于PSK实现身份鉴别。最后通过理论分析证明路由协议的高效能、高可靠性和安全性。

参 考 文 献

- [1] HEINZELMAN W, CHANDRAKASAN A, BALAKRISHNAN H. Energy-efficient communication protocol for wireless microsensor networks[C]//Proc of the 33rd Annual Hawaii Int'l Conf on System Sciences. Maui: IEEE Computer Society, 2000: 3005-3014.
- [2] MANJESHWAR A, AGRAWAL D P. Teen: a protocol for enhanced efficiency in wireless sensor networks[C]//Int'l Proc of the 15th Parallel and Distributed Processing Symp. San Francisco: IEEE Computer Society, 2001: 2009-2015.
- [3] MANJESHWAR A, AGRAWAL D P. Apteem: a hybrid protocol for efficient routing and comprehensive information retrieval in wireless sensor networks[C]//Proceedings of International, Parallel and Distributed Processing Symposium. [S.l.]: [s.n.], 2002:195-202.
- [4] LINDSEY S, RAGHAVENDRA C S. PEGASIS: Power-efficient gathering in sensor information systems[C]//Proc of the IEEE aerospace conf. Montana: IEEE Aerospace and Electronic Systems Society, 2002: 1125-1130.
- [5] KULIK J, HEINZELMAN W R. Negotiation based protocols for disseminating information in wireless sensor networks[J]. Wireless Networks, 2002, 8(23): 169-185.
- [6] INTANAGONWIWAT C, GOVINDAN R, ESTRIN D. Directed diffusion: a scalable and robust communication paradigm for sensor networks[C]//Proc 6th Int'l Conf on Mobile Computing and Networks (ACM Mobicom). Boston, MA: [s.n.], 2000: 56-67.
- [7] BRAGINSKY D, ESTRIN D. Rumor routing algorithm for sensor networks[C]//WSNA'02: Proceedings of the 1st ACM international workshop on Wireless sensor networks and applications. [S.l.]: ACM Press, 2002: 22-31.
- [8] YU Y, ESTRIN D, GOVINDAN R. Geographical and energy-aware routing: A recursive data dissemination protocol for wireless sensor networks[C]//UCLA-CSD TR-01-0023. Los Angeles: [s.n.] 2001: 1-11.
- [9] XU Y, HEIDERMAN J. Geography-informed energy conservation for ad hoc routing[C]//Proc of the 7th annual ACM/IEEE Int'l Conf on Mobile Computing and Networking. Rome: ACM Press, 2001: 70-84.
- [10] GOLDREICH O, GOLDWASSER S, MICALI S. How to construct random functions[J]. Journal of the ACM, 1986, 33(4): 210-217.

编 辑 熊思亮